

УДК 621.315.592

## ТЕМПЕРАТУРНАЯ ЗАВИСИМОСТЬ СВОЙСТВ МАГНИТНОГО ПОЛЯРОНА, СВЯЗАННОГО НА АКЦЕНТОРЕ

*Б. Л. Гельмонт, И. А. Меркулов, Ю. Ф. Рузина,  
И. Л. Бейнихес*

Исследованы температурные зависимости средней энергии, свободной энергии и полного магнитного момента магнитного полярона, образованного дыркой, связанной на акцепторе у края сложной валентной зоны (спин дырки  $\mathcal{J}=3/2$ ) в полумагнитном полупроводнике с кубической симметрией. Учтены принципиальные отличия от случая частицы со спином  $\mathcal{J}=1/2$ . Изучена зависимость магнитополяронного эффекта от отношения масс в валентной зоне  $\gamma=m_l/m_h$  и от вида потенциала притягивающего центра (рассмотрены случаи кулоновского центра и центра с потенциалом «нулевого радиуса»). Показано, что поскольку оба фактора сильно влияют на ход температурной зависимости энергии акцептора, то для интерпретации результатов эксперимента в  $Cd_{1-x}Mn_xTe$  ( $\gamma \ll 1$ ) нужно учитывать, что изучаемый акцепторный центр — глубокий.

Как хорошо известно, в магнитных и полумагнитных полупроводниках обменное взаимодействие между носителями заряда и  $f$ - или  $d$ -электронами магнитных ионов может привести к образованию магнитных поляронов [1-4]. Для носителей заряда со спином  $\mathcal{J}=1/2$  температурная зависимость состояния магнитного полярона, связанного на примесном центре, исследовалась в ряде теоретических работ [2-4]. Однако в [5] нами было показано, что структура основного состояния такого полярона существенно зависит от величины спина носителя. Хотя и при  $\mathcal{J}=1/2$  и при  $\mathcal{J}=3/2$  наиболее глубокое магнитополяронное состояние имеет цилиндрическую симметрию, а проекция ( $M$ ) полного момента носителя ( $F$ ) на ось симметрии максимальна ( $M=1/2$  для  $\mathcal{J}=1/2$  и  $M=3/2$  для  $\mathcal{J}=3/2$ ), пространственное распределение среднего значения спина носителя  $\langle J \rangle$  и поляризации магнитных ионов  $\langle I_n \rangle$  для  $\mathcal{J}=1/2$  и  $\mathcal{J}=3/2$  существенно различны.

Ниже приводятся результаты исследования температурных зависимостей свободной энергии, энергии и магнитного момента связанного магнитного полярона для носителей с  $\mathcal{J}=3/2$ . В исследовавшихся соединениях ( $Cd_{1-x}Mn_xTe$ ,  $Hg_{1-x}Mn_xTe$ ) такой спин имеют дырки в валентной зоне. Поэтому при  $\mathcal{J}=3/2$  мы будем говорить о поляроне, локализованном на акцепторе, сравнивая его с поляроном, локализованным на доноре (спин электронов проводимости равен 1/2).

Для  $\mathcal{J}=1/2$  орбитальное движение носителя в основном состоянии описывается волновой функцией  $s$ -типа. При этом  $F=\mathcal{J}$  и во всех точках полярона  $\langle J \rangle$  и спины магнитных ионов ( $\langle I \rangle$ ) направлены вдоль оси симметрии.

Если же  $\mathcal{J}=3/2$ , то спин носителя сильно взаимодействует с его орбитальным движением. Для свободной квазичастицы это приводит к расщеплению дисперсионной кривой на две подзоны легких и тяжелых дырок массы  $m_l$  и  $m_h$  соответственно [6]. Для дырки, локализованной на акцепторном центре, это взаимодействие проявляется в существенной перестройке волновой функции основного состояния, которая теперь содержит как  $s$ - так и  $d$ -волны [7]. По отдельности ни  $\mathcal{J}$ , ни орбитальный

момент  $\mathbf{L}$  не сохраняются, и лишь полный угловой момент  $\mathbf{F} = \mathcal{J} + \mathbf{L}$  остается «хорошим» квантовым числом. При этом  $\langle \mathcal{J} \rangle$  и  $\langle \Gamma \rangle$  изменяются от точки к точке [5, 8, 9]. Уменьшение величины  $\langle \mathcal{J} \rangle$  ( $|\langle \mathcal{J} \rangle| / \langle 3/2 \rangle$ ) приводит к эффективному ослаблению обменного взаимодействия между локализованной дыркой и магнитными электронами магнитных ионов.

Величину спин-орбитального взаимодействия удобно характеризовать отношением масс легкой и тяжелой дырок  $\gamma = m_l/m_h$ . При  $\gamma = 1$   $\mathcal{J}$  и  $\mathbf{L}$  не взаимодействуют. В основном состоянии  $\mathbf{L}=0$  и акцепторный центр аналогичен донорному. Максимальные различия следует ожидать при  $\gamma \ll 1$ , когда  $m_l \ll m_h$  и примесь  $d$ -функции в основном состоянии максимальна.

Ниже будет показано, что при уменьшении  $\gamma$  от единицы до нуля обменное взаимодействие локализованной дырки с магнитными ионами ослабевает примерно в два раза. При этом оказывается, что основной вклад в магнитополярную энергию (80—90 %) дает  $s$ -компоненту волновой функции.<sup>1</sup> Как и в [5], расчеты выполнены в приближении среднего поля для двух моделей примесного центра — кулоновского и описываемого потенциалом «нулевого радиуса». Показано, что при прочих равных условиях магнитополярная энергия кулоновского центра имеет более сильную температурную зависимость, что связано с ее меньшей локализацией.

Результаты расчета применяются для интерпретации экспериментальных данных работы [11] для акцептора в  $p\text{-Cd}_{1-x}\text{Mn}_x\text{Te}$ .

## 1. Расчет температурной зависимости энергии, свободной энергии и полного момента полярона

Оператор обменного взаимодействия дырки с магнитными ионами решетки имеет вид

$$V_{ex} = \frac{\beta}{3} \sum_n \hat{\rho}(\mathbf{r}_n) (\mathcal{J} \mathbf{I}_n). \quad (1)$$

Здесь  $\mathbf{I}_n$  и  $\mathbf{r}_n$  — оператор спина и радиус-вектор магнитного иона с номером  $n$ ;  $\hat{\rho}(\mathbf{r}_n) = \delta(\mathbf{r} - \mathbf{r}_n)$  — оператор плотности магнитных ионов;  $\beta$  — константа обменного взаимодействия дырки. Локальное обменное поле на ионе с номером  $n$ , порождаемое спином дырки

$$\mathbf{H}(\mathbf{r}_n) = \frac{\beta I}{3g_M \mu_B} \langle \psi_{j_z}^*(\mathbf{r}_n) | \mathcal{J} | \psi_{j_z}(\mathbf{r}_n) \rangle, \quad (2)$$

где  $g_M$  —  $g$ -фактор магнитного иона,  $\mu_B$  — магнетон Бора,  $\psi_{j_z}(\mathbf{r})$  — волновая функция основного состояния дырки в поляроне, у которого проекция полного углового момента на ось квантования  $M=3/2$  [5]

$$\psi_{j_z}(r) = 2 \sum_{lm} (-1)^l \begin{pmatrix} l & 3/2 & 3/2 \\ m & \sigma & -3/2 \end{pmatrix} R_l(r) Y_{lm}(\theta, \varphi) \chi_\sigma. \quad (3)$$

Здесь  $\begin{pmatrix} l & \mathcal{J} & F \\ m & \sigma & -M \end{pmatrix}$  —  $3j$ -символы Вигнера;  $m, \sigma, M$  — проекции на ось квантования орбитального, спинового и полного углового моментов;  $R_l(r)$  — радиальные части волновой функции;  $Y_{lm}(\theta, \varphi)$  — шаровые функции;  $\chi_\sigma$  — собственные векторы матрицы  $\mathcal{J}_z$ . Из правила сложения моментов следует, что функция (3) включает радиальные компоненты  $R_0(r)$  и  $R_2(r)$  соответственно  $s$ - и  $d$ -симметрии, а также все возможные спиноры  $\chi_\sigma$ .

Подставляя (3) в (2), находим выражение для величины поля и его проекции на ось симметрии полярона  $Z$

$$H(r) = \frac{\beta I}{8\pi g_M \mu_B} R_0^2 \xi, \quad H_Z(r) = \frac{\beta I}{8\pi g_M \mu_B} R_0^2 \xi_Z, \quad (4)$$

<sup>1</sup> Этот вывод справедлив и для магнитного полярона, образованного свободной дыркой, который был рассмотрен в [10].

где  $\xi$  и  $\xi_Z$  зависят от отношения радиальных функций  $R_2/R_0 = \eta$  и угла  $\theta$  радиус-вектора  $r$  с осью  $Z$  ( $t = \cos \theta$ )

$$\xi(\eta, t) = [(1 + 2\eta + \eta^2) - (t^2\eta)(6 + 2\eta + 4\eta^2 - \eta^3) + (t^2\eta)^2(7 + 2\eta + \eta^2) - (t^2\eta)^3(2 + \eta)]^{1/2}, \quad (5)$$

$$\xi_Z(\eta, t) = 1 + \eta - 3(t^2\eta) + (t^2\eta)^2. \quad (6)$$

Свободная энергия  $\Phi$ , энергия  $E$  и полный магнитный момент  $M$  поллярона даются формулами

$$\Phi = U + K + \sum_n f_n,$$

$$E = U + K + \sum_n \varepsilon_n,$$

$$M = \mu_h + \sum_n \mu_n, \quad (7)$$

где  $\mu_h$ ,  $U$ ,  $K$  — средние значения магнитного момента, потенциальной и кинетической энергии, локализованной дырки;  $\mu_n$ ,  $f_n$ ,  $\varepsilon_n$  — средние магнитный момент, свободная энергия и энергия  $n$ -го магнитного иона в поле  $H$ . Как хорошо известно, эти термодинамические функции выражаются через статистическую сумму

$$Z_n = \operatorname{sh} \left[ \frac{2I+1}{2I} \frac{g_M \mu_B H(r_n)}{kT} \right] / \left\{ (2I+1) \operatorname{sh} \left[ \frac{g_M \mu_B H(r_n)}{2IkT} \right] \right\} \quad (8)$$

следующим образом:

$$f_n = -T \ln Z_n, \quad \varepsilon_n = -T^2 \frac{d(\ln Z_n)}{dT}, \quad \mu_n = -\nabla_H f_n. \quad (9)$$

Здесь  $k$  — постоянная Больцмана,  $T$  — температура.

Если внутри сферы с радиусом связанных состояний дырки помещается большое количество магнитных ионов, то в (8) от суммирования можно перейти к интегрированию

$$\sum_n f_n \simeq 4\pi k T N r_0^3 \int_0^\infty d\rho \rho^2 \int_0^1 dt \ln \left\{ \frac{\operatorname{sh} [(2I+1)r_0^3 R_0^2 \xi a/2]}{(2I+1) \operatorname{sh} [r_0^3 R_0^2 \xi a/2]} \right\}, \quad (10)$$

$$\sum_n \varepsilon_n \simeq \varepsilon_{ex} \frac{1}{2I} \int_0^\infty d\rho \rho^2 r_0^3 R_0^2 \int_0^1 dt \xi \left\{ (2I+1) \operatorname{cth} \left[ \frac{2I+1}{2} r_0^3 R_0^2 \xi a \right] - \operatorname{cth} [r_0^3 R_0^2 \xi a/2] \right\}, \quad (11)$$

$$\begin{aligned} \sum_n \mu_n \simeq e_z \cdot \sum_n \mu_{nZ} &= e_z \cdot g_M \mu_B I N 4\pi r_0^3 \int_0^\infty d\rho \rho^2 \int_0^1 dt \frac{\xi_Z}{\xi} \times \\ &\times \left\{ (2I+1) \operatorname{cth} [(2I+1)r_0^3 R_0^2 \xi a/2] - \operatorname{cth} [r_0^3 R_0^2 \xi a/2] \right\}. \end{aligned} \quad (12)$$

Здесь  $\rho = r/r_0$  — радиус, измеренный в единицах  $r_0$ ; безразмерный параметр  $a$  зависит и от  $r_0$  и от температуры  $T$

$$a = \beta/(2\pi r_0^3 k T). \quad (13)$$

Отметим, что во всех рассмотренных ниже случаях  $(r_0^3 R_0^2)$ ,  $\xi$  и  $\xi_Z$  являются функциями  $\rho$  и не зависят от  $r_0$ . Поэтому интегралы (10) — (12) зависят от  $r_0$  лишь через параметр  $a$ .

В предельных случаях высокой и низкой температур формулы (10), (11) существенно упрощаются. Так, для  $T \rightarrow 0$

$$\sum_n f_n = \sum_n \varepsilon_n = \varepsilon_{ex} \int_0^\infty dr r^2 R_0^2 \int_0^1 dt \xi, \quad (14)$$

где  $\varepsilon_{\text{ex}} = (\beta N I / 2)$  — максимальная обменная энергия, достигаемая при  $\gamma = 1$ . В области высоких температур

$$T \gg T_0 = \beta / 2\pi r_0^3 k, \quad (15)$$

когда  $a = T/T_0 \ll 1$ , магнитополярная энергия обратно пропорциональна температуре

$$\sum_n \varepsilon_n = \frac{1}{2} \sum_n f_n = \varepsilon_{\text{ex}} \frac{I+1}{24} q(\gamma) \frac{T_0}{T}, \quad (16)$$

$$q(\gamma) = r_0^3 \int_0^\infty dr r^2 R_0^4 \int_0^1 dt \xi^2 = r_0^3 \int_0^\infty dr r^2 \left[ R_0^4 + \frac{26}{15} R_0^2 R_2^2 - \frac{128}{105} R_2^3 R_0 + \frac{41}{105} R_2^4 \right]. \quad (17)$$

Для определения конкретных зависимостей  $\Phi(T)$ ,  $E(T)$ ,  $M(T)$  необходимо подставить в формулы (14)–(17) явные выражения для функций  $R_0(r)$  и  $R_2(r)$ . Вид этих функций зависит от потенциала притяжения носителя к центру. Соответствующие расчеты будут выполнены ниже для двух моделей: 1) кулоновского центра и 2) центра, описываемого потенциалом «нулевого радиуса».

**Кулоновский центр.** Аналитический вид функций  $R_0(r)$  и  $R_2(r)$  для кулоновского акцепторного центра известен лишь при  $\gamma=1$ , когда  $m_i=m_h$  и донорные ( $J=1/2$ ) и акцепторные ( $J=3/2$ ) состояния не отличаются друг от друга

$$R_0 = \frac{2}{r_B^{3/2}} e^{-r/r_B}, \quad R_2 = 0. \quad (18)$$

Здесь  $r_B$  — боровский радиус связанного состояния. При произвольном  $\gamma$  функции  $R_0$  и  $R_2$  определяют численным интегрированием системы двух дифференциальных уравнений [7]. Однако если  $\gamma=0$ , то эта система несколько упрощается [10]. А именно одно из уравнений

$$\frac{dR_0}{dr} + \left( \frac{d}{dr} + \frac{3}{r} \right) R_2 = 0 \quad (19)$$

теперь вообще не зависит от характера притяжения к центру и дает универсальную связь между  $R_0$  и  $R_2$  для любого потенциала.

Учет обменного взаимодействия между дыркой и магнитными ионами еще более усложняет задачу. Поэтому ниже расчет характеристик магнитного полярона во всем температурном интервале ( $0 < T < \infty$ ) будет выполнен лишь в двух предельных случаях  $\gamma=0$  и  $1$ , причем для радиальных функций воспользуемся простейшими аппроксимационными выражениями с единственным вариационным параметром — радиусом связанного состояния  $r_0$ . При  $\gamma=1$  — это функции (18), в которых  $r_B$  заменено на  $r_0$ , а для  $\gamma=0$ , учитывая (19), возьмем

$$R_0 = \frac{\sqrt{2}}{r_0^{3/2}} e^{-r/r_0}, \quad R_2 = \frac{\sqrt{2}}{r_0^{3/2}} \left( \frac{r_0}{r} \right)^3 \left\{ 6 - e^{-r/r_0} \left[ \left( \frac{r}{r_0} \right)^3 + 3 \left( \frac{r}{r_0} \right)^2 + 6 \left( \frac{r}{r_0} \right) + 6 \right] \right\}, \quad (20)$$

$$\int_0^\infty dr r^2 R_0^2 = \int_0^\infty dr r^2 R_2^2 = 1/2. \quad (21)$$

В области высоких температур, когда магнитополярные эффекты малы, полученные результаты будут сопоставлены с расчетами по теории возмущений, в которых использовались  $R_0$  и  $R_2$ , найденные численным решением системы дифференциальных уравнений [12] для разных значений  $\gamma$ .

В отсутствие обменного взаимодействия из (18), (20) нетрудно найти явные выражения для кинетической  $K$ , потенциальной  $U$  и полной  $\epsilon_h$  энергий дырки, а также значение радиуса связанного состояния  $r_0$ , которое определяется из условия максимальности  $\epsilon_h$ . При  $\gamma=1$

$$\tilde{K}(1) = \frac{\hbar^2}{2m_h\tilde{r}_0^2(1)}, \quad \tilde{U}(1) = -\frac{e^2}{\kappa\tilde{r}_0(1)}, \quad \tilde{\epsilon}_h(1) = -\frac{1}{2}\frac{m_h e}{\hbar^2\kappa^2}, \quad \tilde{r}_0(1) = \frac{\hbar^2\kappa}{e^2 m_h}, \quad (22)$$

а для  $\gamma = 0$

$$\tilde{K}(0) = \frac{\hbar^2}{2m_h\tilde{r}_0^2(0)}, \quad \tilde{U}(0) = -\frac{C e^2}{\kappa\tilde{r}_0(0)}, \quad \tilde{\epsilon}_h(0) = \tilde{\epsilon}_h(1) C^2, \quad \tilde{r}_0(0) = \tilde{r}_0(1)/C, \quad (23)$$

где  $e$  — заряд электрона,  $\kappa$  — диэлектрическая проницаемость,  $\hbar$  — постоянная Планка, а параметр  $C = 6 \ln(2) = 3.5 \approx 2/3$ .

Подставляя (18) и (20) в (7), (10)–(13), находим

$$\begin{aligned} \Phi(\gamma) &= \tilde{\epsilon}_h(\gamma) \left[ \left( \frac{\tilde{r}_0(\gamma)}{r_0} \right)^2 - 2 \left( \frac{\tilde{r}_0(\gamma)}{r_0} \right) \right] - \epsilon_{ex} I_1(a)/a, \\ E(\gamma) &= \tilde{\epsilon}_h(\gamma) \left[ \left( \frac{\tilde{r}_0(\gamma)}{r_0} \right)^2 - 2 \left( \frac{\tilde{r}_0(\gamma)}{r_0} \right) \right] - \epsilon_{ex} I_2(a), \\ M(\gamma) &= g_M \mu_B I 4\pi r_0^3 N I_s(a) - \mu_B g_h \frac{3}{2}, \end{aligned} \quad (24)$$

где

$$\begin{aligned} I_1(a) &= \frac{1}{2I} \int_0^1 \frac{dy}{y} \ln^2 y \int_0^1 dt \ln \left\{ \frac{\operatorname{sh} \left[ \frac{2I+1}{2} ay\xi \right]}{(2I+1) \operatorname{sh}[ay\xi/2]} \right\}, \\ I_2(a) &= \frac{1}{4I} \int_0^1 dy \ln^2 y \int_0^1 dt \xi \left\{ (2I+1) \operatorname{cth}[(2I+1)ay\xi/2] - \operatorname{ctg}[ay\xi/2] \right\}, \\ I_3(a) &= \frac{1}{16} \int_0^1 \frac{dy}{y} \ln^2 y \int_0^1 dt \frac{\xi_x}{\xi} \left\{ (2I+1) \operatorname{cth}[(2I+1)ay\xi/2] - \operatorname{cth}[ay\xi/2] \right\}, \end{aligned} \quad (25)$$

$g_M$  и  $g_h$  —  $g$  факторы магнитных ионов и локализованной дырки.

Значение среднего радиуса магнитного полярона при данной температуре  $r_0(\gamma, T)$  определяется условием минимальной свободной энергии

$$\frac{\partial \Phi}{\partial r_0} \Big|_{r_0=r_0(\gamma, T)} = \frac{\tilde{\epsilon}_h(\gamma)}{\tilde{r}_0(\gamma)} \left[ -2 \left( \frac{\tilde{r}_0(\gamma)}{r_0(\gamma, T)} \right)^3 - 2 \left( \frac{\tilde{r}_0(\gamma)}{r_0(\gamma, T)} \right)^2 \right] + \epsilon_{ex} \frac{d}{da} \left( \frac{I_1(a)}{a} \right) \frac{da}{dr_0} = 0. \quad (26)$$

Это трансцендентное уравнение для  $r_0$  удается решить, если в качестве аргумента взять не температуру  $T$ , а параметр  $a$ . Тогда, используя соотношение  $dI_1(a)/da = I_2(a)$ , имеем

$$r_0(\gamma, a) = \tilde{r}_0(\gamma) [\sqrt{1+2A} - 1]/A, \quad A = \frac{3\epsilon_{ex}(I_1/a - I_2)}{\tilde{\epsilon}_h(\gamma)} = \frac{3(E - \Phi)}{\tilde{\epsilon}_h(\gamma)}, \quad (27)$$

$$T(a) = \beta/(2\pi r_0^3(\gamma, a) ka). \quad (28)$$

Из (27), (28) видно, что в обоих предельных случаях ( $T \rightarrow 0$  и  $T \rightarrow \infty$ )  $r_0(\gamma, T) \rightarrow \tilde{r}_0(\gamma)$ .<sup>2</sup> При  $T \rightarrow \infty$  этот результат очевиден и связан просто с исчезновением корреляции между спинами магнитных ионов и локализованной дыркой. При  $T \rightarrow 0$  он является следствием вида пробной функции, для которой среднее значение модуля спина дырки ( $\langle |\mathcal{J}| \rangle$ ) не зависит от  $r_0$ . Разность между энергией и свободной энергией в единицах  $\epsilon_{ex}$  не превосходит 0.15 и обращается в нуль при  $T=0$ . На рис. 1 изображена зависимость радиуса полярона для  $\gamma=1$  и  $\gamma=0$ . За единицу длины взято значение  $\tilde{r}_0(\gamma=1)$ , а температура измерена в единицах  $T_0(\gamma=1)$  (15). Видно, что для использованных при расчете параметров  $\text{Cd}_{0.95}\text{Mn}_{0.05}\text{Te}$

<sup>2</sup> Для электрона на доноре ( $J=1/2$ ) или дырки на акцепторе ( $J=3/2$ ) спин частицы является сохраняющейся величиной и не зависит от  $r_0$ , поэтому равенство  $\lim_{T \rightarrow 0} r_0(\gamma, T) = \lim_{T \rightarrow \infty} r_0(\gamma, T) = \tilde{r}_0(\gamma)$  является точным, а для случая  $J=3/2$ ,  $\gamma=0$  оно, вообще говоря, вытекает из выбора вариационной функции.

$(\epsilon_{ex}/\epsilon_h(\gamma=1)=1, \epsilon_{ex}/\epsilon_h(\gamma=0)=9/4) r_0(\gamma, I)$  отличается от невозмущенного значения  $\tilde{r}_0(\gamma)$  не более чем на 20 %.

На рис. 2 представлена зависимость от  $T/T_0(\gamma=1)$  магнитополярного сдвига свободной и средней энергии

$$\Delta\Phi = -(\Phi - \tilde{\epsilon}_h(\gamma)), \quad \Delta E = -(E - \tilde{\epsilon}_h(\gamma)). \quad (29)$$

В полном согласии с результатами общего анализа максимальное значение сдвига дается формулой (14) и достигается при  $T=0$ . При изменении  $\gamma$  от 1 до 0 сдвиг уменьшается от  $\epsilon_{ex}$  до  $0.53\epsilon_{ex}$ . Сравнивая этот результат с условием нормировки (21), видим, что с 10-процентной точностью величина эффекта определяется  $s$ -компонентой волновой функции ( $R_0(r)$ ).

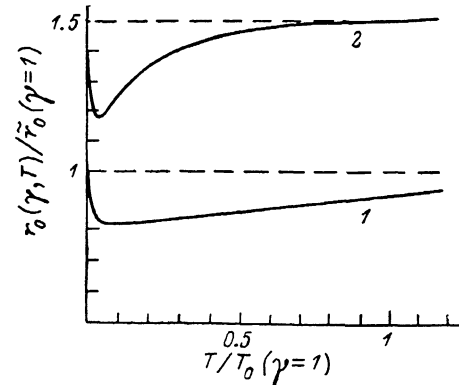


Рис. 1. Зависимость вариационного радиуса  $r_0(\gamma)$  магнитного полярона, связанного на акцепторном центре кулоновского типа, от температуры для двух значений отношения масс:  $\gamma=1$  (1) и  $\gamma=0$  (2).

Радиус измерен в единицах  $r_0(\gamma=1)=h^2/\epsilon_{ex}m_h$ , а температура — в единицах  $T_0(\gamma=1)=\beta/2\pi r_0^3(\gamma=1) h$ . Было принято, что  $\epsilon_{ex}/\epsilon_h(\gamma=1)=1$  и  $\epsilon_{ex}/\epsilon_h(\gamma=0)=9/4$  (см. (27)) (параметры  $Cd_{0.9}Mn_{0.05}Te$ ).

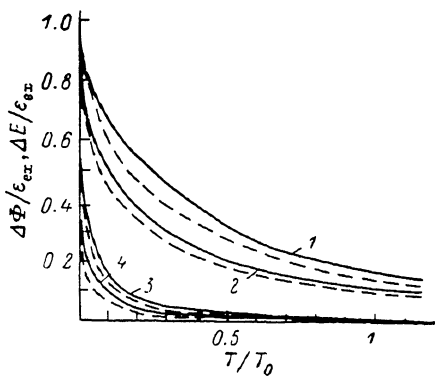


Рис. 2. Магнитополярный сдвиг энергии кулоновского акцептора (в единицах  $\epsilon_{ex}=\beta NI/2$ ) как функция температуры (в единицах  $T_0(\gamma=1)$ ).

Кривые 1 (энергия) и 2 (свободная энергия) относятся к зоне с  $\gamma=1$ , а кривые 3 и 4 — к аналогичным величинам в зоне с  $\gamma=0$ . Штрихами изображены те же зависимости, рассчитанные без учета изменения радиуса акцепторного состояния обменным взаимодействием. Зависимости 3 и 4 можно приближенно получить из 1 и 2, если уменьшить у последних масштаб по обеим осям в два раза, что эквивалентно уменьшению в два раза эффективной константы обменного взаимодействия при изменении  $\gamma$  от 1 до 0.

О том же свидетельствует расчет в высокотемпературной области, где величина сдвига дается формулой (16). Входящий в эту формулу параметр  $q$  (17) для  $\gamma=1$  равен 1, а для  $\gamma=0$

$$q(0) \approx 0.28 \approx r_0^3 \int_0^\infty dr r^2 R_0^4 = 0.25. \quad (30)$$

Кроме  $q$ , в высокотемпературной формуле (16) от  $\gamma$  зависит радиус связанного состояния  $r_0(\gamma)$ , который входит в выражение для  $T_0$  (15). Согласно (22), (23),  $\tilde{r}_0(0) \approx 1.5 r_0(1)$ . Нетрудно найти, что полная зависимость  $\Delta E$  от  $\gamma$  описывается функцией

$$p(\gamma) = \frac{\Delta E(\gamma)}{\Delta E(1)} = q(\gamma) \frac{r_0^3(1)}{r_0^3(\gamma)}. \quad (31)$$

Расчет  $p(\gamma)$  был выполнен как для предельных значений  $\gamma=1$  и 0 с использованием функций (18), (19), так и с функциями  $R_0$  и  $R_2$ , найденными для произвольного значения  $\gamma$  численным интегрированием системы дифференциальных уравнений для радиальных функций [12]. Для двух предельных случаев имеем:  $p(1)=1$ ,  $p(0)=0.074$  (рис. 3). Оба значения совпадают как с результатами численного расчета, так и с численными оценками, учитывающими лишь  $s$ -компоненту волновой функции. Это дает основание утверждать, что при любом отношении масс основной вклад

в обменное взаимодействие дает  $s$ -составляющая волновой функции дырки. Другими словами, характеристики магнитного полярона при произвольном  $\gamma$  можно получить, используя волновую функцию вида (18) и считая, что эффективная константа обменного взаимодействия  $\beta^*$  зависит от  $\gamma$  (рис. 3)

$$\beta^*(\gamma) = \beta \int_0^\infty dr r^2 R_0^2(r, \gamma). \quad (32)$$

Центр, описываемый потенциалом «нулевого радиуса». Модель потенциала «нулевого радиуса» обычно используется для описания глубоких примесных центров, когда радиус действия притягивающего потенциала мал по сравнению с характерным размером волновой функции связанного состояния. В рамках этой модели удается найти явное выражение для функции связанного состояния как вблизи экстремумов валентной зоны и зоны проводимости, так и в глубине запрещенной зоны [18]. Если энергия связи носителя на центре  $\epsilon_0$  велика по сравнению с обменной энергией  $\epsilon_{ex}$ , то можно приближенно считать, что магнитополярный эффект не изменяет вида волновой функции связанного состояния. Тогда, рассматривая для простоты состояния вблизи вершины валентной зоны ( $J=3/2$ ), имеем

$$R_0 = \frac{1}{r_0^{3/2} (1 + \gamma^{3/2})^{1/2}} \frac{e^{-\rho}}{\rho} \left[ \gamma e^{\rho(1-\sqrt{\gamma})} + 1 \right],$$

$$R_2 = \frac{1}{r_0^{3/2} (1 + \gamma^{3/2})^{1/2}} \frac{e^{-\rho}}{\rho} \left[ \left( \gamma + \frac{3}{\rho} \sqrt{\gamma} + \frac{3}{\rho^2} \right) e^{\rho(1-\sqrt{\gamma})} - \left( 1 + \frac{3}{\rho} + \frac{3}{\rho^2} \right) \right]. \quad (33)$$

Здесь  $r_0 = \hbar^2 / \sqrt{2m_e \epsilon_0}$  — радиус тяжелой дырки,  $\rho = r/r_0$ . При  $\gamma=1$ ,  $R_2=0$ , а  $R_0$  переходит в обычную волновую функцию центра с потенциалом «нулевого радиуса» [18].

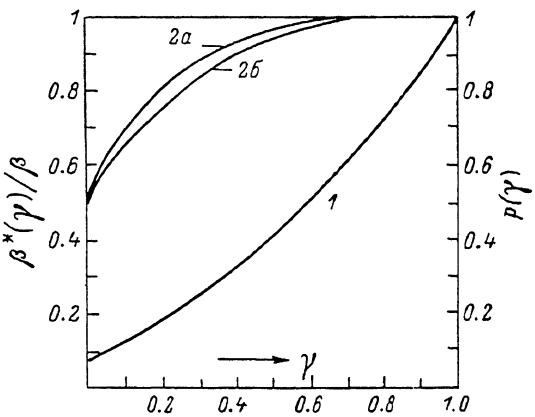
Подставляя (33) в (10)–(13), несложно найти общее выражение для сдвига уровня и магнитного момента полярона. Получаемые формулы во многом аналогичны (24), (25), но в силу приближения  $\epsilon_0 \gg \epsilon_{ex}$  параметр  $r_0$  теперь просто совпадает со значением радиуса волновой функции в отсутствие обменного взаимодействия. Расчет магнитополярного сдвига показывает, что максимальные значения сдвига достигаются при  $T=0$  и близки к соответствующим величинам для кулоновского центра:  $\Delta E = -\Delta \Phi = \epsilon_{ex}$  при  $\gamma=1$  и  $\Delta E = -\Delta \Phi \approx 0.56 \epsilon_{ex}$  при  $\gamma=0$ . Однако в определяемой условием (15) высокотемпературной области различия между рассматриваемыми моделями носят даже не количественный, а качественный характер.

Если для кулоновского центра в полном согласии с общей формулой (16)  $\Delta E \sim \Delta \Phi \sim T^{-1}$ , то для центра «нулевого радиуса» зависимость магнитополярного сдвига от температуры оказывается более слабой  $\Delta E \sim \Delta \Phi \sim -T^{-1/2}$ . Проиллюстрируем это на примере сдвига средней энергии  $\Delta E$ . Как нетрудно понять, качественное отличие центра, описываемого потенциалом «нулевого радиуса», связано с тем, что радиальные функции (33) ведут себя в окрестности центра как  $1/\rho$ , интеграл (17) расходится на нижнем пределе. Т. е. всегда имеется область, где несправедливо высокотемпературное разложение и при расчетах следует использовать точную формулу (11). Поскольку при  $T \gg T_0$  ( $a \ll 1$ ) основной вклад в магнитополярный сдвиг вносят магнитные примеси, расположенные вблизи центра ( $r \ll r_0$ ), при вычислении интеграла (11) можно пренебречь экспоненциальными сомножителями  $R_i$ . Тогда, вводя новую переменную  $y=r/(\sqrt{a}r_0)$ , имеем

$$\Delta E = \epsilon_{ex} \sqrt{\frac{T_0}{T}} \frac{1}{2I} \int_0^\infty dy \int_0^1 dt \xi \left\{ (2I+1) \coth \left[ \frac{2I+1}{2} \frac{\xi}{y^2} \right] - \coth \left[ \frac{\xi}{2y^2} \right] \right\}. \quad (34)$$

Подынтегральная функция здесь не зависит от  $a$  и вся зависимость от температуры связана с явно выписанным множителем  $\sqrt{T_0/T}$ . Это справедливо до тех пор, пока основной вклад в интеграл дает область, содержащая достаточно большое число магнитных ионов (справедливо континуальное приближение). Радиус этой области убывает как  $T^{-1/2}$ : ( $r_c \sim$

Рис. 3. Зависимость магнитополярного сдвига энергии кулоновского акцептора при высоких температурах (в единицах сдвига при  $\gamma=1$ )  $p(\gamma) = \Delta E(\gamma)/\Delta E(1)$  от отношения масс  $\gamma = m_l/m_h$  (кривая 1). Зависимость от отношения масс эффективной константы обменного взаимодействия в единицах  $\beta$  (кривая 2).  $\beta^*(\gamma)/\beta = \infty$   
 $= \int dr r^2 R_0^2(r, \gamma)$  — вероятность  
 пребывания в  $s$ -состоянии для  
 дырки, связанной на а) кулоновском центре, б) центре с потенциалом «нулевого радиуса».



$\approx r_0 \sqrt{T_0/T}$ ). Если  $r_c < r_N = N^{-1/3}$ , то для взаимодействия со всеми магнитными ионами справедливо высокотемпературное приближение. Тогда  $\Delta E$  дается формулой (16), но в интеграле (17) нижний предел следует сдвинуть от нуля на величину  $r_N$ .

Расчет показывает, что для центра, описываемого потенциалом «нулевого радиуса», как и для кулоновского центра, справедлив вывод о том,

что основной вклад в обменное взаимодействие дырки с системой магнитных ионов вносит  $s$ -компоненту волновой функции дырки. Зависимость  $\beta^*(\gamma)/\beta$ , рассчитанная с функцией (33), приведена на рис. 3 (кривая 2б).

Магнитный момент спинового полярона.

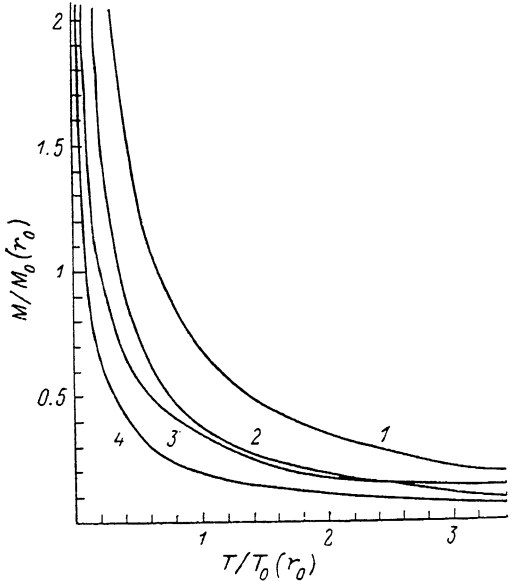


Рис. 4. Зависимость от температуры (в единицах  $T_0$ , формула (15)) полного момента магнитного полярона  $M$  (в единицах  $M_0 = I_{gM} \mu_B 4\pi N r_0^3$ ), связанного на акцепторном центре кулоновского типа с  $\gamma=1$  и  $\gamma=0$  (кривые 1 и 2) и на центре с потенциалом «нулевого радиуса» с  $\gamma=1$  и  $\gamma=0$  (кривые 3 и 4).

Единицы измерения зависят от радиуса связанного состояния  $r_0$ .

На рис. 4 представлены рассчитанные по (12) температурные зависимости магнитного момента полярона  $M$ . За единицу  $M$  взято значение суммарного магнитного момента ионов, расположенных внутри радиуса акцепторного состояния  $M_0 = I_{gM} \mu_B 3\pi N r_0^3$ , а температура измерена в единицах  $T_0$  (15).<sup>8</sup> Расчеты проводились для обоих типов центров и двух значениях параметра  $\gamma=0$  и  $\gamma=1$ . Для исследованного в [11] центра

<sup>8</sup> Следует иметь в виду, что при достаточно больших магнитополярных сдвигах  $r_0$  само зависит от температуры. Однако для  $Cd_{0.95}Mn_{0.05}Te$  зависимость  $r_0(T)$  слабая и не приводит к заметному изменению момента при заданной температуре.

в  $\text{Cd}_{1-x}\text{Mn}_x\text{Te}$ , если считать его близким к центру с потенциалом «нулевого радиуса»,  $T_0=23$  К и  $M_0=Tg_M\mu_Bx \cdot 867$ , а для кулоновского центра в том же кристалле  $T_0(\gamma=1)=46$  К,  $M_0(\gamma=1)=Ig_M\mu_Bx \cdot 433$ ,  $T_0(\gamma=0)=14$  К,  $M_0(\gamma=0)=Ig_M\mu_Bx \cdot 1500$ . Видно, что различия зависимостей  $M(T)$  носят лишь количественный характер. В высокотемпературной области  $M \sim M_0 T_0 / T$ . При  $T \rightarrow 0$ ,  $M \rightarrow \infty$ . Это связано с тем, что в рассчитанной модели при малых температурах радиус области, в которой спины магнитных ионов выстроены вдоль обменного поля  $r_M$ , стремится к бесконечности. Как показано в [11], учет антиферромагнитного взаимодействия между магнитными ионами приводит к конечным значениям  $r_M$  и  $M$  при  $T=0$  К.

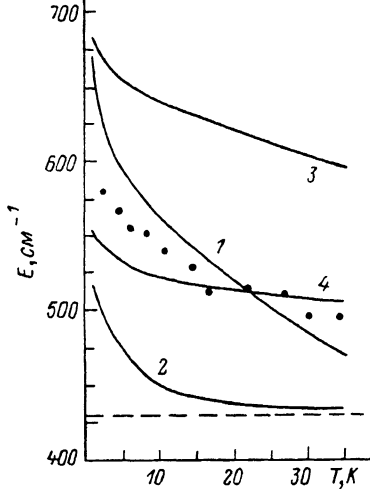


Рис. 5. Зависимость энергии акцептора в  $\text{Cd}_{0.95}\text{Mn}_{0.05}\text{Te}$  от температуры.

Δ — эксперимент [11]. Сплошные линии — расчет для кулоновского акцептора при: 1 —  $\gamma=1$ , 2 —  $\gamma=0$  и центра с потенциалом «нулевого радиуса» с: 3 —  $\gamma=1$  и 4 —  $\gamma=0$  (с учетом зависимости  $x'(x)$ ).

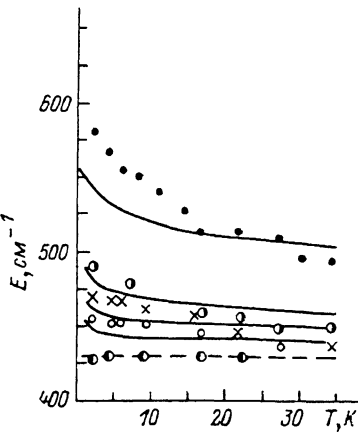


Рис. 6. Энергия акцептора как функция температуры для кристаллов  $\text{Cd}_{1-x}\text{Mn}_x\text{Te}$  [11] со следующими значениями  $x$ .

Черные точки —  $x=0.05$ , бело-черные —  $x=0.02$ , крестики —  $x=0.01$ , круги —  $x=0.005$ , черно-белые — чистый  $\text{CdTe}$ . Сплошные линии — результат соответствующего расчета для акцептора с потенциалом «нулевого радиуса» при  $\gamma=0.1$ .

## 2. Интерпретация эксперимента

В [11] для кристаллов  $\text{Cd}_{1-x}\text{Mn}_x\text{Te}$   $p$ -типа с различными значениями  $x$  измерена зависимость средней энергии основного состояния дырки на акцепторе от температуры. Исследованные кристаллы имеют кубическую гранецентрированную катионную подрешетку с периодом  $a_0=6.46$  Å. Акцепторный уровень в  $\text{CdTe}$  имеет энергию  $\varepsilon_A=54$  мэВ. Эта величина значительно превышает энергию акцептора кулоновского типа с соответствующими параметрами материала ( $m_h/m_0=0.4$ , где  $m_0$  — масса свободного электрона,  $x=10$ ,  $\gamma=m_i/m_h=0.1 \ll 1$ ).

$$\varepsilon_h(\gamma=0) \simeq \frac{1}{2} \frac{m_h e^4}{\hbar^2 z^2} \frac{4}{9} = 23.6 \text{ мэВ.} \quad (35)$$

На рис. 5 представлены экспериментальная и теоретические зависимости энергии акцептора от температуры. Расчетные кривые 1, 2 относятся соответственно к кулоновскому центру с  $\gamma=1$  и  $\gamma=0$ , а кривые 3, 4 к центру «нулевого радиуса» с  $\gamma=1$  и  $\gamma=0$ . Из рис. 5 видно, что, поскольку в рассматриваемом материале  $\gamma \ll 1$ , кулоновский центр не подходит для описания магнитного полярона в данном случае, в то время как центр с потенциалом «нулевого радиуса»  $\gamma=0$  дает неплохое согласие с экспериментом. Такой результат согласуется с выводом, сделанным по

оценке энергии кулоновского акцептора, о том, что изучаемый центр глубокий.

На рис. 6 экспериментальные зависимости энергии акцептора от температуры для кристаллов четырех составов [11] сопоставляются с результатами расчета, выполненного для центра «нулевого радиуса» с  $\gamma=0.1$  (кривые для  $\gamma=0.1$  и  $\gamma=0$  очень близки).<sup>4</sup> Различие между теорией и экспериментом (15–20 %) находится в рамках точности сделанных выше приближений: континуального приближения, использования неизменной волновой функции дырки, неучета перпендикулярных к локальному направлению обменного поля составляющих спинов магнитных ионов.

### Л и т е р а т у р а

- [1] Кривоглаз М. А. УФН, 1973, т. 111, № 4, с. 627–654; Нагаев Э. Л. Физика магнитных полупроводников. М.: Наука, 1979. 432 с.
- [2] Warnock J., Wolff P. A. Phys. Rev. B, 1985, vol. 31, N 10, p. 6579–6587.
- [3] Diehl T., Spatek J. Phys. Rev. B, 1983, vol. 28, N 3, p. 1548–1563.
- [4] Рябченко С. М., Семенов Ю. Г. ЖЭТФ, 1983, т. 84, № 4, с. 1419–1431.
- [5] Берковская Ю. Ф., Вахабова Э. М., Гельмонт Б. Л., Меркулов И. А. ЖЭТФ, 1988, т. 94, № 4, с. 183–195.
- [6] Бир Г. Л., Пикус Г. Е. Симметрия и деформационные эффекты в полупроводниках. М.: Наука, 1972. 735 с.
- [7] Гельмонт Б. Л., Дьяконов М. И. ФТП, 1971, т. 5, № 11, с. 2191–2193.
- [8] Гельмонт Б. Л., Меркулов И. А., Берковская Ю. Ф., Вахабова Э. М. В сб.: Материалы VII Всес. симпозиума «Полупроводники с узкой запрещенной зоной и полуметаллы». Львов, 1986, ч. 2, с. 9–11.
- [9] Isaacs E. D., Wolff P. A. 18th Intern. Conf. Phys. of Semiconductors. Stockholm, 1986, vol. 2, p. 1791–1794.
- [10] Берковская Ю. Ф., Гельмонт Б. Л., Цидильковский Э. И. ФТП, 1988, № 4, с. 142–154.
- [11] Nhung T. H., Planel R., Benoit a'la Guillaume C. Phys. Rev. B, 1985, vol. 31, N 4, p. 2388–2395.
- [12] Beinikhes I. L., Kogan Sh. M., Polupanov A. F., Taskinboev R. Sol. St. Commun., 1984, vol. 53, N 12, p. 1083–1087.
- [13] Демков Ю. Н., Островский В. Н. Метод потенциалов «нулевого радиуса» в атомной физике. Л.: Изд-во ЛГУ, 1975. 205 с.
- [14] Shapiro Y., Forner S., Ridgley D. H. et al. Phys. Rev. B, 1984, vol. 30, N 7, p. 4021–4023.

Физико-технический институт  
им. А. Ф. Иоффе АН ССР  
Ленинград

Поступило в Редакцию  
16 февраля 1988 г.

<sup>4</sup> При расчетах мы учли, что антиферромагнитное взаимодействие эффективно уменьшает концентрацию магнитных ионов так, что вместо  $x$  следует использовать измененную величину  $x'(x)$ , найденную в [14]. Применимость этой зависимости в исследуемом случае проверялась.